

女性生殖系统疾病实验室研究专题 · 论著 DOI:10.3969/j.issn.1672-9455.2021.12.003

血清 CXCL-12、CXCR-4 和 CXCR-7 联合 检测在诊断子宫腺肌病中的临床价值

单君, 李莉

复旦大学附属妇产科医院妇科, 上海 200090

摘要:目的 探讨血清趋化因子配体(CXCL)-12、趋化因子受体(CXCR)-4 和 CXCR-7 联合检测在诊断子宫腺肌病中的临床价值。方法 选取 2018 年 1 月至 2020 年 1 月在该院就诊且病理确诊为子宫腺肌病的 96 例患者作为子宫腺肌病组, 选取同期在该院诊治的子宫肌瘤 75 例患者和体检健康者 45 例分别作为子宫肌瘤组和健康对照组。观察各组血清 CXCL-12、CXCR-4、CXCR-7 和糖类抗原 125(CA125) 水平变化, 血清 CXCL-12、CXCR-4 和 CXCR-7 水平对子宫腺肌病的诊断效能及其与病理分级、痛经程度和各指标之间的相互关系。结果 子宫腺肌病组血清 CXCL-12、CXCR-4 和 CA125 水平明显高于子宫肌瘤组和健康对照组, 而血清 CXCR-7 水平明显低于子宫肌瘤组和健康对照组, 差异均有统计学意义 ($P < 0.05$); 子宫肌瘤组血清 CXCL-12、CXCR-4 和 CA125 水平高于健康对照组, 而血清 CXCR-7 水平明显低于健康对照组, 差异均有统计学意义 ($P < 0.05$)。CXCL-12+CXCR-4+CXCR-7 联合检测的灵敏度为 85.4%, 特异度为 96.0%, 受试者工作特征曲线下面积为 0.953, 明显高于单个指标 CXCL-12 ($Z = 4.221, P < 0.001$)、CXCR-4 ($Z = 4.595, P < 0.001$) 和 CXCR-7 ($Z = 4.628, P < 0.001$)。子宫腺肌病患者血清 CXCL-12 和 CXCR-4 水平与 CXCR-7 呈负相关 ($r = -0.682, -0.816, P < 0.01$), 而血清 CXCL-12 水平与 CXCR-4 呈正相关 ($r = 0.742, P < 0.01$)。结论 血清 CXCL-12、CXCR-4 和 CXCR-7 水平与子宫腺肌病的严重程度具有密切关系, 联合检测在诊断子宫腺肌病方面具有较高的灵敏度和特异度。

关键词:趋化因子配体-12; 趋化因子受体; 子宫腺肌病; 痛经

中图法分类号: R711.71

文献标志码: A

文章编号: 1672-9455(2021)12-1673-05

Clinical value of serum CXCL-12, CXCR-4 and CXCR-7 in the diagnosis of adenomyosis

SHAN Jun, LI Li

Department of Gynecology, Obstetrics and Gynecology Hospital,

Fudan University, Shanghai 200090, China

Abstract: Objective To investigate the clinical value of serum chemokine ligand (CXCL)-12, chemokine receptor (CXCR)-4 and CXCR-7 combined detection in the diagnosis of adenomyosis. **Methods** From January 2018 to January 2020, 96 cases of adenomyosis were diagnosed pathologically in a hospital, which belonged to the adenomyosis group; 75 cases of uterine fibroids diagnosed and treated in a hospital during the same period and 45 cases of healthy physical examination were uterine fibroids group and healthy control group, respectively. The serum CXCL-12, CXCR-4, CXCR-7, and carbohydrate antigen 125 (CA125) levels were observed in each group. The serum CXCL-12, CXCR-4, and CXCR-7 levels in the diagnosis of adenomyosis, its correlation with pathological classification, severity dysmenorrhea and among each indicator were also observed. **Results** Serum CXCL-12, CXCR-4 and CA125 levels in adenomyosis group were significantly higher than those in uterine fibroid group and healthy control group, while serum CXCR-7 levels were significantly lower than those in uterine fibroid group and healthy control group, with statistical significance ($P < 0.05$). The levels of CXCL-12, CXCR-4 and CA125 in uterine fibroids group were higher than those in healthy control group, while the level of CXCR-7 in uterine fibroids group was significantly lower than those in healthy control group, with statistical significance ($P < 0.05$). The sensitivity and specificity of CXCL-12+CXCR-4+CXCR-7 combined detection were 85.4%, 96.0%, and the area under the receiver operating characteristic curve was 0.953, which were significantly higher than those of CXCL-12 ($Z = 4.221, P < 0.001$), CXCR-4 ($Z = 4.595, P < 0.001$) and CXCR-7 ($Z = 4.628, P < 0.001$). Serum CXCL-12 and CXCR-4 levels in adenomyosis patients

作者简介:单君,女,护师,主要从事子宫腺肌的早期诊断研究。

本文引用格式:单君,李莉. 血清 CXCL-12、CXCR-4 和 CXCR-7 联合检测在诊断子宫腺肌病中的临床价值[J]. 检验医学与临床, 2021, 18(12): 1673-1676.

were negatively correlated with CXCR-7 ($r = -0.682, -0.816, P < 0.01$), while serum CXCL-12 level was positively correlated with CXCR-4 ($r = 0.742, P < 0.01$). **Conclusion** The serum CXCL-12, CXCR-4 and CXCR-7 levels are closely related to the severity of adenomyosis. Combined detection has high sensitivity and specificity in the diagnosis of adenomyosis.

Key words: chemokine ligand-12; chemokine receptor; adenomyosis; dysmenorrhea

子宫腺肌病是妇科常见的良性疾病,是常见的不孕原因之一,临幊上常有痛经、经量过多和经期延长等症幊,痛经在月经开始时出现,疼痛持续到月经结束,严重影响患者的生活质量^[1]。近年来发现,糖类抗原 125(CA125)对子宫腺肌病的诊断具有一定的价值,但其灵敏度和特异度不高。趋化因子是一类细胞分泌的信号蛋白,具有诱导特定的细胞趋化能力,参与细胞病理生理过程^[2]。趋化因子配体(CXCL)-12 在多种细胞中广泛的表达,与趋化因子受体(CXCR)-4 或 CXCR-7 结合,激活多种细胞信号通路,参与了细胞的病理生理过程^[3]。现已知 CXCL-12、CXCR-4 在子宫内膜异位症中具有重要作用,但是否对子宫腺肌病具有影响仍不清楚^[4-5]。本研究通过检测子宫腺肌病患者血清 CXCL-12、CXCR-4 和 CXCR-7 水平,观察其在诊断子宫腺肌病的临床价值,现报道如下。

1 资料与方法

1.1 一般资料 选取 2018 年 1 月至 2020 年 1 月在本院就诊且病理确诊为子宫腺肌病的 96 例患者作为子宫腺肌病组,年龄 26~56 岁,平均(3.86±6.24)岁,体质质量指数(BMI)为(23.94±2.15)kg/m²。选取同期在本院行手术治疗且病理诊断为子宫肌瘤的 75 例患者作为子宫肌瘤组,年龄 23~57 岁,平均(43.27±5.21)岁,BMI 为(23.19±2.06)kg/m²。另选取同期本院体检健康者 45 例作为健康对照组,年龄 25~55 岁,平均(43.92±5.28)岁,BMI 为(23.62±1.78)kg/m²。纳入标准:(1)子宫腺肌病和子宫肌瘤均经病理证实;(2)均签署知情同意书。本研究经医院伦理委员会审核通过。排除标准:(1)其他生殖系统疾病如恶性肿瘤和盆腔炎等;(2)3 个月内服用性激素类药物;(3)合并内分泌和神经系统疾病;(4)精神性疾病和智力障碍;(5)免疫性和血液性疾病。3 组年龄和 BMI 等一般资料比较,差异无统计学意义($P > 0.05$),具有可比性。

1.2 方法

1.2.1 子宫腺肌病病理分级 根据子宫内膜浸润子宫肌层的不同程度及子宫内膜侵入浅肌层、子宫肌层中部和超过肌层中部分为Ⅰ级、Ⅱ级和Ⅲ级。

1.2.2 痛经程度评估 入院后患者采用视觉模拟评分,根据评分标准总分为 0~10 分,分数越高疼痛越严重。根据疼痛评分总分分为轻度:0~2 分;中度:3~6 分;重度:7~10 分。

1.2.3 血液标本的留取 子宫腺肌病组、子宫肌瘤

组患者入院时和健康对照组研究对象同期在清晨抽空腹肘部静脉血约 5 mL,将标本静置约 30 min 予以离心,离心速度 3 000 r/min,离心半径为 15 cm,离心 15 min,留取上清液。

1.2.4 血清 CXCL-12、CXCR-4、CXCR-7 和 CA125 水平检测 采用酶联免疫吸附试验法检测血清 CXCL-12、CXCR-4、CXCR-7 和 CA125 水平,按照购买的试剂盒说明书操作,采用 CXCL-12、CXCR-4、CXCR-7 和 CA125 抗体制成固相抗体,将抗体包被微孔板,并将加入含有 CXCL-12、CXCR-4、CXCR-7 和 CA125 的待测样本,形成抗原抗体复合物及酶结合物,在充分温育后进行洗涤,并加入显色剂,并终止反应,在 450 nm 处测定吸光度,根据吸光度查标准曲线并计算出血清 CXCL-12、CXCR-4、CXCR-7 和 CA125 水平。所有的试剂盒购自武汉伊莱瑞特生物科技股份有限公司。

1.2.5 观察指标 观察各组血清 CXCL-12、CXCR-4、CXCR-7 和 CA125 水平变化;血清 CXCL-12、CXCR-4 和 CXCR-7 水平对子宫腺肌病的诊断效能及其与病理分级、痛经程度和各指标之间的相互关系。

1.3 统计学处理 采用 SPSS16.0 统计软件对数据进行分析,正态分布的计量资料采用 $\bar{x} \pm s$ 表示,计数资料采用率表示,组间比较行 χ^2 检验,观察血清 CXCL-12、CXCR-4 和 CXCR-7 水平在诊断子宫腺肌病的诊断效能采用受试者工作特征曲线(ROC 曲线)检测,观察 ROC 曲线下面积(AUC)及灵敏度和特异度,各指标间的相关性采用 Spearman 相关分析,检验标准 $\alpha=0.05, P < 0.05$ 表示差异有统计学意义。

2 结 果

2.1 各组血清 CXCL-12、CXCR-4、CXCR-7 和 CA125 水平比较 子宫腺肌病组血清 CXCL-12、CXCR-4 和 CA125 水平明显高于子宫肌瘤组和健康对照组,而血清 CXCR-7 水平明显低于子宫肌瘤组和健康对照组,差异均有统计学意义($P < 0.05$);子宫肌瘤组血清 CXCL-12、CXCR-4 和 CA125 水平高于健康对照组,而血清 CXCR-7 水平明显低于健康对照组,差异均有统计学意义($P < 0.05$)。见表 1。

2.2 血清 CXCL-12、CXCR-4 和 CXCR-7 水平在诊断子宫腺肌病的灵敏度和特异度比较 血清 CXCL-12($Z=4.470, P < 0.01$)、CXCR-4($Z=4.019, P < 0.01$)和 CXCR-7($Z=3.685, P < 0.01$)水平在诊断子宫腺肌病的效能明显优于 CA125,将 CXCL-12、CX-

CR-4 和 CXCR-7 进行二元 Logistic 回归分析, 方程 $Y=0.67 \times X_{\text{CXCL-12}} + 0.23 \times X_{\text{CXCR-4}} - 3.18 \times X_{\text{CXCR-7}} - 13.09$, CXCL-12+CXCR-4+CXCR-7 联合检测的灵敏度为 85.4%, 特异度为 96.0%, AUC 为 0.953, 明显高于单个指标的检测结果 [CXCL-12 ($Z=4.221$, $P<0.001$)、CXCR-4 ($Z=4.595$, $P<0.001$) 和 CXCR-7 ($Z=4.628$, $P<0.001$), 而单个指标的检测结果

比较, 差异无统计学意义 ($P>0.05$)。见图 1、表 2。

2.3 子宫腺肌病患者血清 CXCL-12、CXCR-4 和 CXCR-7 水平与病理分级的关系 从表 3 可知, 子宫腺肌病患者血清 CXCL-12 和 CXCR-4 水平随着病理分级升高而升高 ($P<0.05$), 而 CXCR-7 水平随着病理分级升高而降低 ($P<0.05$)。

表 1 各组血清 CXCL-12、CXCR-4、CXCR-7 和 CA125 水平比较 ($\bar{x} \pm s$)

组别	n	CXCL-12(pg/L)	CXCR-4(pg/mL)	CXCR-7(ng/L)	CA125(kU/L)
健康对照组	45	4.25±0.92	22.61±2.65	2.76±0.87	1.68±0.56
子宫肌瘤组	75	7.81±1.54 ^b	48.89±5.95 ^b	1.86±0.53 ^b	44.80±11.51 ^b
子宫腺肌病组	96	11.34±3.17 ^{ab}	58.16±8.08 ^{ab}	1.36±0.31 ^{ab}	52.25±24.47 ^{ab}
F		159.179	504.413	112.346	138.817
P		<0.001	<0.001	<0.001	<0.001

注: 与子宫肌瘤组比较, ^a $P<0.05$; 与健康对照组比较, ^b $P<0.05$ 。

表 2 血清 CXCL-12、CXCR-4 和 CXCR-7 水平在诊断子宫腺肌病的效能比较

项目	截断值	灵敏度(%)	特异度(%)	AUC	95%CI
CXCL-12	9.24 pg/L	70.8	88.0	0.843	0.780~0.894
CXCR-4	54.36 pg/mL	65.6	85.3	0.826	0.761~0.880
CXCR-7	1.48 ng/L	67.7	80.0	0.806	0.739~0.862
CA125	59.91 kU/L	37.5	93.3	0.615	0.538~0.688
CXCL-12+CXCR-4+CXCR-7	—	85.4	96.0	0.953	0.910~0.979

注: — 表示无数据。

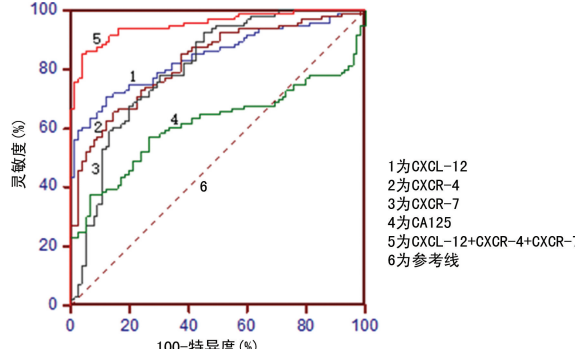


图 1 血清 CXCL-12、CXCR-4 和 CXCR-7 水平在诊断子宫腺肌病的 ROC 曲线分析

表 3 子宫腺肌病患者血清 CXCL-12、CXCR-4 和 CXCR-7 水平与病理分级的关系 ($\bar{x} \pm s$)

项目	n	CXCL-12(pg/L)	CXCR-4(pg/mL)	CXCR-7(ng/L)
I 级	22	7.49±1.28	47.78±4.19	1.76±0.14
II 级	38	10.51±1.18 ^a	56.51±3.23 ^a	1.41±0.10 ^a
III 级	36	14.57±1.99 ^{ab}	66.25±4.23 ^{ab}	1.05±0.19 ^{ab}
F		150.570	162.713	162.021
P		<0.001	<0.001	<0.001

注: 与 I 级比较, ^a $P<0.05$; 与 II 级比较, ^b $P<0.05$ 。

2.4 子宫腺肌病患者血清 CXCL-12、CXCR-4 和

CXCR-7 水平与痛经程度的关系 从表 4 可知子宫腺肌病患者血清 CXCL-12 和 CXCR-7 水平随着痛经程度升高而升高 ($P<0.05$), 而血清 CXCR-4 水平随着痛经程度升高而降低 ($P<0.05$)。

表 4 子宫腺肌病患者血清 CXCL-12、CXCR-4 和 CXCR-7 水平与痛经程度的关系 ($\bar{x} \pm s$)

项目	n	CXCL-12(pg/L)	CXCR-4(pg/mL)	CXCR-7(ng/L)
轻度	15	7.00±1.28	46.46±4.51	1.82±0.14
中度	58	10.81±1.63 ^a	57.11±4.30 ^a	1.40±0.14 ^a
重度	23	15.49±1.95 ^{ab}	68.45±3.77 ^{ab}	0.95±0.17 ^{ab}
F		125.840	128.346	156.154
P		<0.001	<0.001	<0.001

注: 与轻度比较, ^a $P<0.05$; 与中度比较, ^b $P<0.05$ 。

2.5 子宫腺肌病患者血清 CXCL-12、CXCR-4 和 CXCR-7 水平的相关性分析 子宫腺肌病患者血清 CXCL-12 和 CXCR-4 水平与 CXCR-7 呈负相关 ($r=-0.682$ 、 -0.816 , $P<0.01$), 而血清 CXCL-12 水平与 CXCR-4 呈正相关 ($r=0.742$, $P<0.01$)。

3 讨 论

子宫腺肌病是一种雌激素依赖性疾病, CXCL-12 是趋化因子 CXC 亚家族的成员之一, 定位于 10 号染

色体,是一种由 68 个氨基酸组成的小分子细胞因子,具有较高的稳定性^[6]。CXCL-12 具有两种表达形式 CXCL-12a 和 CXCL-12b,在多种器官中表达,如心脏、肾脏、脾脏和子宫内膜等,这些组织无须炎症刺激,能够持续分泌 CXCL-12^[7]。CXCL-12 的主要功能具有调节血管,促进肿瘤组织侵袭和转移等重要作用;此外,CXCL-12 参与了诱导免疫细胞活化、募集和迁移,对机体的免疫平衡具有一定作用^[8-9]。CXCL-12 参与血管生成可能与 CXCR-4 和 CXCR-7 结合后,启动下游的信号通路,诱导细胞发生增殖、迁移和刺激血管的形成有关^[10]。本研究发现子宫腺肌病组血清 CXCL-12 水平明显高于子宫肌瘤组和健康对照组,并且发现随着病理分级的升高和痛经程度升高出现明显升高,说明 CXCL-12 参与了子宫腺肌病的病理生理过程。与其他报道结果接近^[11]。本结果显示血清 CXCL-12 > 9.24 pg/L 时,在诊断子宫腺肌病的灵敏度为 70.8%,特异度为 88.0%,AUC 为 0.843,明显高于 CA125 的 AUC。

CXCR-4 是由人染色体 2q21 基因编码 7 次的跨膜 G 蛋白偶联受体,其由 352 个氨基酸组成,广泛存在于各种器官的细胞膜和细胞质中,主要在内皮细胞、白细胞和单核细胞中^[12]。CXCR-4 与 CXCL-12 结合后,通过改变自身的构象,导致异三聚体 G 蛋白活化,激活下游的多条信号通路,引起一系列的生物效应,在血管生产和恶性肿瘤增殖和转移中具有重要作用^[13]。本研究显示,子宫腺肌病组血清 CXCR-4 水平明显高于子宫肌瘤组和健康对照组,并且随着痛经程度和病理分级升高而升高,说明 CXCR-4 参与了子宫腺肌病的病理生理过程。有研究发现,CXCR-4 水平较高可以激活 CXCL-12/CXCR-4 轴,增加子宫内膜异位症的侵袭性^[14-16]。本研究还发现 CXCR-4 > 54.36 pg/mL 时,其诊断子宫内膜异位症的灵敏度为 65.6%,特异度 85.3%,AUC 为 0.826,说明其在诊断子宫内膜异位症具有重要诊断价值。

CXCR-7 定位于 2q37 上,与 CXCR-4 具有同源性,与 CXCL-12 具有高度亲和力^[17]。现已知 CXCR-7 与 CXCL-12 结合的亲和力较 CXCR-4 更高,并且 CXCL-12 与 CXCR-7 结合后,无法再与 CXCR-4 结合,但功能上不能介导蛋白偶联,无法激活信号通路^[18]。CXCL-12/CXCR-7 信号轴在不同的组织具有不同的效应,在多种肿瘤的血管内皮细胞和肿瘤细胞中高表达,促进肿瘤的进展,但在子宫内膜异位症中并未促进病情发展,并且发现 CXCR-7 还可以通过内吞形式进入人体的 CXCL-12 微环境中,发挥对 CXCR-4 的拮抗作用^[19-20]。本研究显示,子宫腺肌病组血清 CXCR-7 水平明显低于子宫肌瘤组和健康对照组,并且发现随着子宫腺肌病的病理分级和痛经程度升高而降低,说明血清 CXCR-7 水平在子宫腺肌病发

生发展过程中具有重要作用。本研究发现,CXCL-12+CXCR-4+CXCR-7 联合检测的灵敏度为 85.4%,特异度为 96.0%,AUC 为 0.953,明显优于单个指标 CXCL-12、CXCR-4 和 CXCR-7,并且发现血清 CXCL-12 和 CXCR-4 水平与 CXCR-7 呈负相关,而血清 CXCL-12 水平与 CXCR-4 呈正相关,说明 3 个指标间具有联系,且具有明显的互补性。

总之,血清 CXCL-12、CXCR-4 和 CXCR-7 水平与子宫腺肌病的严重程度具有密切关系,其联合检测在诊断子宫腺肌病方面具有较高的灵敏度和特异度。

参考文献

- BUGGIO L,MONTI E,GATTEI U,et al. Adenomyosis:fertility and obstetric outcome:a comprehensive literature review[J]. Minerva Ginecol,2018,70(3):295-302.
- HORTON J,STERRENBURG M,LANE S,et al. Reproductive,obstetric, and perinatal outcomes of women with adenomyosis and endometriosis:a systematic review and meta-analysis[J]. Hum Reprod Update,2019,25(5):592-632.
- LEE H H,JEONG J W,HONG S H,et al. Diallyl trisulfide suppresses the production of lipopolysaccharide-induced inflammatory mediators in BV2 microglia by decreasing the NF-κB pathway activity associated with toll-like receptor 4 and CXCL12/CXCR4 pathway blockade[J]. J Cancer Prev,2018,23(3):134-140.
- PLUCHINO N,MAMILLAPALLI R,MORIDI I,et al. G-protein-coupled receptor CXCR7 is overexpressed in human and murine endometriosis[J]. Reprod Sci,2018,25(8):1168-1174.
- MEI J,LI M Q,LI D J,et al. MicroRNA expression profiles and networks in CXCL12-stimulated human endometrial stromal cells[J]. Mol Med Rep,2017,15(1):249-255.
- MORTEZAEE K. CXCL12/CXCR4 axis in the microenvironment of solid tumors:a critical mediator of metastasis[J]. Life Sci,2020,249(1):117534.
- TUMOLO M R,PANICO A,DE DONNO A,et al. The expression of microRNAs and exposure to environmental contaminants related to human health:a review[J]. Int J Environ Health Res,2020,12(1):1-23.
- ZHONG X Z,DENG Y,CHEN G,et al. Investigation of the clinical significance and molecular mechanism of miR-21-5p in hepatocellular carcinoma: a systematic review based on 24 studies and bioinformatics investigation[J]. Oncol Lett,2019,17(1):230-246.
- MAAN Z N,RODRIGUES M,RENNERT R C,et al. Understanding regulatory pathways of neovascularization in diabetes[J]. Expert Rev Endocrinol Metab,2014,9(5):487-501.
- PUNDE T H,WU W H,LIEN P C,et al. A biologically inspired lung-on-a-chip device for the study of protein-induced lung inflammation[J]. Integr Biol (Camb),2015,7(2):162-169.

(下转第 1680 页)

加快疾病发展。高水平 HLA-G 能够减弱自然杀伤细胞功能,减少对宫颈癌细胞的免疫监视作用^[13]。冷雪娇等^[14]研究报道,出现淋巴结转移的宫颈癌患者血清 HLA-G 升高,说明高水平 HLA-G 能够加快宫颈癌癌变。本研究 miR-124 和 HLA-G 敏感度较高,ROC 曲线评估 miR-124 联合 HLA-G 对宫颈癌的诊断价值,提示 miR-124、HLA-G 能够对宫颈癌诊断提供较高的准确率。王梦洁等^[15]研究指出,通过 ROC 曲线了解到 miR-124 能够增加诊断宫颈癌的准确性。

综上所述,miR-124 与 HLA-G 水平变化与宫颈癌 FIGO 分期、淋巴结转移及脉管浸润有关,二者联合检测有望成为宫颈癌诊断的新靶点。

参考文献

- [1] 郭颖,马冬,贾世峰,等.微小 RNA-365 和靶向 E74 样受体 4 在宫颈癌细胞的增殖及其临床意义[J].中国医学科学院学报,2019,41(2):220-227.
- [2] 田芸,曾健,翟光宇.TNF- α 、TNFR1、TNFR2 在不同宫颈病变组织中的表达及与临床病理特征的关系[J].国际肿瘤学杂志,2018,45(7):412-418.
- [3] 郭金鼎,赵新,劳杰,等.miR-124 和 miR-138 参与调控健侧颈 7 移位术后脑功能重塑的研究[J].中华手外科杂志,2019,35(2):139-142.
- [4] 石清蒲,李力,汪丛敏.黄体酮、抑制素 A、HLA-G 水平在早期先兆流产诊断中的价值[J].中国医师杂志,2019,21(10):1574-1576.
- [5] WANG Z,WANG Q,ZHAO J,et al. Altered diversity and composition of the gut microbiome in patients with cervical cancer[J]. Amb Express,2019,9(1):40.
- [6] 谢莹莺,徐梦婷.HLA-G 表达对滋养细胞系 JEG-3 细胞侵袭和增殖能力的影响[J].中华妇产科杂志,2019,54(3):179.
- [7] 熊兴东,成捷,刘新光,等.miR-124 rs531564 基因多态性与宫颈癌遗传易感有密切关系[J].南方医科大学学报,2014,11(2):210-213.
- [8] 王梦洁,孟碧,高飞,等.miR-124 对宫颈癌 HeLa 细胞放射敏感性的影响及其机制探讨[J].现代肿瘤医学,2018,26(6):818-821.
- [9] 张欣,郑妮,王传新,等.血浆 HLA-G 在宫颈癌和癌前病变检测中的应用[J].中华检验医学杂志,2011,34(1):61-65.
- [10] LI W,SONG D,SUN Y,et al. microRNA 124 3p inhibits the progression of congenital hypothyroidism via targeting programmed cell death protein 6[J]. Exp Ther Med, 2018,15(6):5001-5006.
- [11] WAN H Y,LI Q Q,ZHANG Y,et al. MiR-124 represses vasculogenic mimicry and cell motility by targeting amotL1 in cervical cancer cells[J]. Cancer Letters,2014,355(1):148-158.
- [12] 袁犁.miR-124 通过靶向 PDCD6 抑制卵巢癌细胞及诱导凋亡机制的研究[D].重庆:重庆医科大学,2016.
- [13] 郑妮.人类白细胞抗原 G(HLA-G)在宫颈癌患者中的表达及其临床应用研究[D].济南:山东大学,2010.
- [14] 冷雪娇,粘桂粒,张道强,等.人类白细胞抗原 G 和人类白细胞抗原 E 在宫颈癌中的表达及临床意义[J].国际免疫学杂志,2016,39(2):107-110.
- [15] 王梦洁,孟碧,高飞,等.miR-124 对宫颈癌 HeLa 细胞放射敏感性的影响及其机制探讨[J].现代肿瘤医学,2018,26(6):818-821.

(收稿日期:2020-09-23 修回日期:2021-01-09)

(上接第 1676 页)

- [11] 赵秀敏,李杰,彭洋颖,等.子宫腺肌病患者 CXCL12/CX-CR4/CXCR7 mRNA 及其蛋白表达水平[J/CD].中华妇幼临床医学杂志(电子版),2020,16(3):309-315.
- [12] HUISMAN B W,BURGGRAAF J,VAHRMEIJER A L, et al. Potential targets for tumor-specific imaging of vulvar squamous cell carcinoma:a systematic review of candidate biomarkers[J]. Gynecol Oncol,2020,156(3):734-743.
- [13] ZHOU W,GUO S,LIU M,et al. Targeting CXCL12/CX-CR4 axis in tumor immunotherapy[J]. Curr Med Chem, 2019,26(17):3026-3041.
- [14] YAMASHIRO K,IDEGUCHI H,AOYAGI H,et al. High mobility group box 1 expression in oral inflammation and regeneration[J]. Front Immunol,2020,11(1):1461.
- [15] CHEN C,SU Y J,CHEN J W,et al. Intra-Bone marrow transplantation of endosteal bone marrow cells facilitates allogeneic hematopoietic and stromal cells engraftment dependent on early expression of CXCL-12[J]. Med Sci Monit,2015,21(1):2757-2766.
- [16] 赖德芳,王青,刘东军.趋化因子 SDF-1 在脂肪间充质干细胞向血管内皮细胞分化过程中的作用[J].中国细胞生物学学报,2018,40(5):827-835.
- [17] 胡秋霞,彭新月,石杰敏,等.CXCL12/CXCR4/CXCR7 轴在子宫内膜异位症中的研究进展[J].生命的化学,2020,40(2):262-268.
- [18] WANG Y,FU W,ZHANG S,et al. CXCR-7 receptor promotes SDF-1 α -induced migration of bone marrow mesenchymal stem cells in the transient cerebral ischemia/reperfusion rat hippocampus[J]. Brain Res,2014,1575(1):78-86.
- [19] EIBEL B,KRISTOCHEK M,PERES T R,et al. β -blockers interfere with cell homing receptors and regulatory proteins in a model of spontaneously hypertensive rats [J]. Cardiovasc Ther,2018,36(4):e12434.
- [20] 黄晓萍,张娟,王文平,等.CXCL12 和 CXCR4 对骨髓干细胞向子宫内膜间质细胞趋化的影响[J].中国组织工程研究,2019,23(9):1319-1323.

(收稿日期:2020-10-12 修回日期:2021-05-10)